# 伝搬距離の異なる複数の音響伝達関数を用いた PC グラウト充填状況の非破壊評価手法

大阪大学大学院 学生会員 〇朝倉 響 大阪大学大学院 学生会員 服部 晋一 大阪大学大学院 正会員 鎌田 敏郎 立命館大学 正会員 内田 慎哉 大阪大学大学院 正会員 寺澤 広基

#### 1. はじめに

ポストテンション方式の PC 構造物におけるシース 内部の PC グラウト未充填部を検出する手法の一つに 衝撃弾性波法がある.この方法では,直径の小さいシ ースが深い位置にある場合,未充填部(空隙)で反射 する信号は小さく,また,この信号に衝撃により発生 する比較的大きい表面波が雑音として重畳するため, 未充填部を検出することが困難になる.一方,適応信 号処理の研究においては,信号が雑音より小さい領域 においても雑音キャンセル手法の適用により,雑音の 除去に効果があることが報告されている<sup>1)</sup>.

そこで本研究では、図-1に示すように、表面波の影響のみが得られる参照部と表面波および反射波が得られる対象部を対象に、伝搬距離の異なる複数の音響伝達関数をそれぞれ算出し、表面波のキャンセル処理を行い、PCグラウト充填状況の非破壊評価手法について、実験からその適用性を検討することを目的とした.

#### 2. 実験概要

### 2.1 供試体概要

図 - 2 に PC グラウト供試体の概要を示す. 供試体寸法は縦 550mm×横 1000mm×奥行き 450mm, 埋設されている鋼製スパイラルシースの外径は 63mm で, 供試体中央を境にグラウトが充填されている部分と未充填の部分がある. 今回の実験ではかぶりが 50mm (337mm), 100mm (287mm), 150mm (237mm), 187mm (200mm)の 4 体の供試体を使用した. 今回,参照部はかぶりが237mm の充填部とした.

# 2.2 計測概要

図 - 3 に計測状況を示す. 図 - 1 に示される打撃点 P および P'はシースの直上に設定し、検出点  $S1\sim S6$  および  $S1'\sim S6'$ はコンクリート表面上のシース軸と直交する方向に 40mm 間隔で設定した. 計測は、各計測点で 4回行った. 計測位置のばらつきを考慮するため、計測

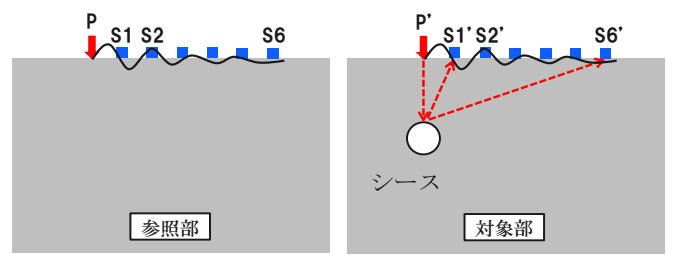


図 - 1 評価原理

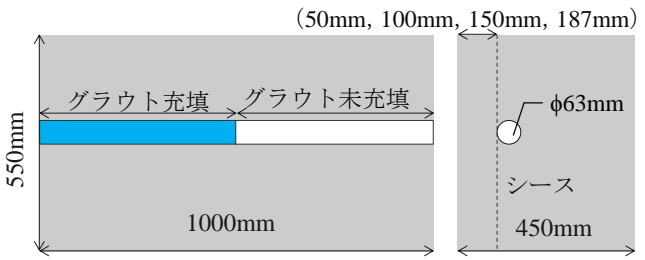


図 - 2 供試体概要

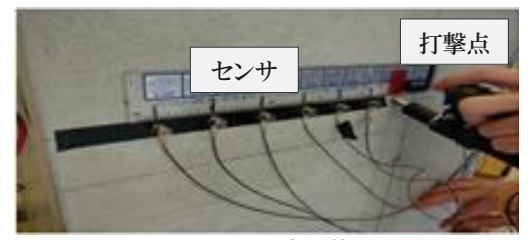


図 - 3 計測状況

点は充填部および未充填部の中心と、そこから供試体の端部および中央部に向かってそれぞれ50mm間隔で1点ずつの計3点を設定した。衝撃入力には直径6mm、10mm、12mmの鋼球を使用し、一定の衝撃力を与えるために、電磁駆動による衝撃入力機構を使用した。

一方、弾性波の受信には、0.003~30kHz においてフラットな応答感度を有する加速度センサを使用した. 加速度センサの設置にはブチルゴム系の両面テープを使用した. センサで受信した信号は、サンプリング間隔 1μs, サンプリング数 10000 点の時刻歴応答波形として波形収集装置に記録した.

#### 2.3 評価指標

打撃により誘起された弾性波の応答は 6 つのセンサで同時に計測される. 参照部および対象部の 2 対の計測により得られた受信波形  $y_1(t) \sim y_6(t)$ ,  $y_1(t)' \sim y_6(t)$ 'から音響伝達関数  $H(\omega)$ を式(1)で算出する.

キーワード PC グラウト, 非破壊試験, 衝撃弾性波法, 音響伝達関数, 表面波キャンセル連絡先 〒565-0871 大阪府吹田市山田丘 2-1, Tel: 06-6879-7618, Fax: 06-6879-7621

$$H(\omega) = Y_2(\omega)/Y_1(\omega)$$
  

$$H(\omega)' = Y_2(\omega)'/Y_1(\omega)'$$
(1)

ここで、 $Y(\omega)$ は時刻歴波形 y(t)の FFT である. 対象部のシース内に未充填部が存在すると、空隙部で反射波が発生し、対象部の音響伝達関数が変化する. そこで、対象部および参照部の音響伝達関数  $H(\omega)$ ,  $H(\omega)$ 'をフーリエ逆変換したインパルス応答 h(t), h(t)'(図 - 4 参照)を用いて、下記の式(2)で導出する反射強さ R により、空隙からの反射波を定量化することによってシース管のグラウト充填不良の評価指標とした.

$$R = \sum_{0}^{500} \left[ h(t) - h(t)' \right]^{2} \tag{2}$$

以上は検出点が S2 および S2'の場合を示したが、  $S3\sim S6$  および  $S3\sim S6$  に関しても同様の関係が成立する.

# 3. 実験結果および考察

かぶりが 50mm, 100mm および 187mm の場合の反射 強さ R の計算結果を図 - 5 に示す. 横軸は伝達関数を求めるセンサ間距離を示している. 充填部における反射 強さを点線で、未充填部における反射強さを実線で示し、併せて鋼球直径を示す.

図 - 5 からセンサ間距離に対応して反射強さ R が変化することがわかる. かぶりが 100mm の場合にはいずれの鋼球においても、センサ間距離 160mm で充填部と未充填部の反射強さ R の比が最大となる. 一方、かぶりが 50mm の場合には、鋼球直径によって反射強さ R の値が最大となるセンサ間距離が異なる場合があることがわかった. これは、表面波と反射波の干渉によって受信波形の位相が変化することが原因と考えられる. したがって、かぶりや使用する鋼球の直径によって着目するセンサ間距離を替えることが、充填状況の評価に重要であることが明らかとなった.

かぶりが 187mm の場合には、いずれのセンサ間距離においても反射強さ R が有意差を生じなかった。これは、かぶりが深くなったことにより未充填部からの反射波が十分に受信できなかったことが原因と考えられる。

以上より、本手法の適用可能なかぶりの範囲についてはセンサ間距離や鋼球直径の影響と併せて今後検討する必要があると考えられる.

### 4. 結論

音響伝達関数に基づく評価手法により、かぶりに応じたセンサ間距離および鋼球を適切に選択することで、

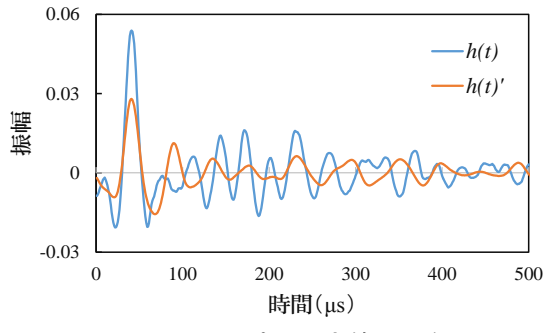
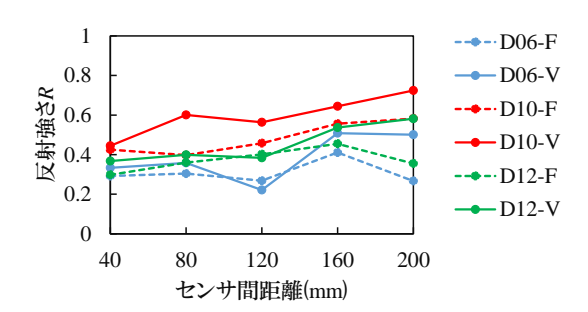
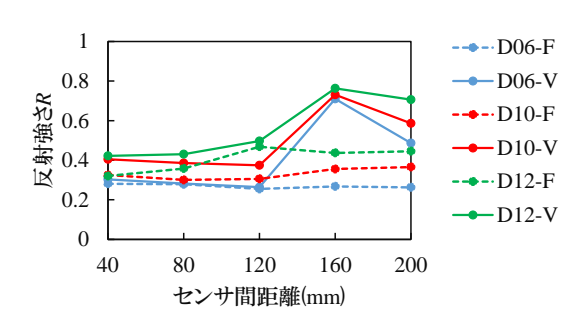


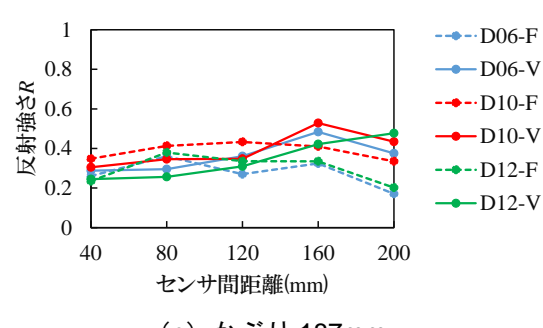
図 - 4 インパルス応答の一例



(a) かぶり 50mm



(b) かぶり 100mm



(c) かぶり 187mm

図 - 5 反射強さ R

PC グラウトの充填状況を評価できる可能性が示された. 謝辞

本研究は、日本学術振興会科学研究費補助金(挑戦的萌芽研究 26630203) の援助を受けて行なったものである. ここに記して謝意を表する.

### 参考文献

 Widrow, B. and Stearns, S.D.: Adaptive signal processing, Prentice-Hall, 1985